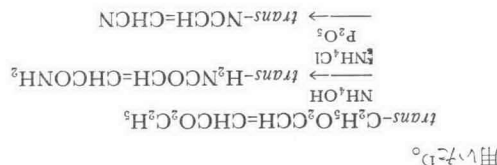


1) "Organic Syntheses", Coll. Vol. II, p. 302 (1943).



至于乙之(Si)：市販品充 10% 手工醸製之，或水溶液，10% 水酸化之，或水溶液之鹽乙處理之，水銀鹽化為乙之，乙酸銀，減玉素留(54°C/30 mHg)乙之。

2.1.1 菜單

2 マルクの重合

如若原狀態的土壤濕度大於 L_1 ，則當土壤含水量大於 L_2 時，土壤會重合於 L_1 。若土壤濕度大於 L_2 ，則當土壤含水量大於 L_3 時，土壤會重合於 L_2 。這就是說，當土壤濕度大於 L_1 時，土壤會重合於 L_1 ；當土壤濕度大於 L_2 時，土壤會重合於 L_2 ；當土壤濕度大於 L_3 時，土壤會重合於 L_3 。

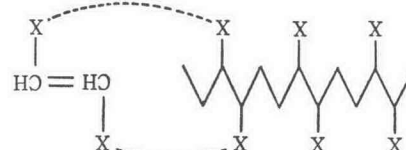
如果要考慮到其重合率，則應將 ΔL 計算為 $\Delta L = \frac{1}{2} \Delta x$ ，其中 Δx 為兩點間的距離。此時， ΔL 的值會根據距離而變化，並非固定為 $\Delta L = 1$ 。

憲本圖一^{*1}・小繩眞明^{*2}・井本立也^{*2}

(昭和45年4月24日受理)

□ 口二 HJ110高壓共噴台—penultimate 效果(對子)之壓力的影響——

*1 Gochi ENOMOTO 三義久司 氏会社，豊橋市牛川
町二之幡
*2 Yoshiaki Ogo, Tatsuya IMOTO 大阪市立大学工学部，
大阪市吉田区杉本町



三
號

アセトン: 重クロム酸カリウムの存在下に数時間還流したのち精留 (bp 56~57°C) した。

ベンゼン: 市販品を濃硫酸で処理後、水洗し、塩化カルシウムで乾燥後精留 (bp 80°C) した。

アゾビスイソブチロニトリル(AIBN): 市販品をメタノールで再結晶した。

メタノール: 市販品を蒸留した。

2.1.2: 実験方法: 反応混合物は全モノマー濃度 50%, 開始剤 (AIBN) 濃度 0.03% のアセトン溶液とした。反応温度は 60°C, 圧力は最高 4000 kg/cm² である。生成コポリマーはアセトン-メタノール系で再沈殿精製し、60°C で減圧乾燥し、窒素元素分析によりコポリマー組成を決定した。なお溶媒効果を検討するため常圧で行なったアセトン、アセトン-ベンゼン溶媒の比較実験は、内容積約 150 cm³ のガラス封管を用い、モノマー/溶媒のモル比 1/12, 60°C で行なった。

2.2 結果と考察

さきにも述べたように penultimate 効果の原因はモノマーとポリマーラジカル間の極性置換基による Field 効果と立体障害のいずれかに起因するといわれている。

いま penultimate 効果の主因がポリマーラジカルとモノマー間の極性置換基による Field 効果とすると、両者に働く力はつぎの Coulomb の法則にしたがう。

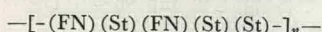
$$F = \left(\frac{1}{4\pi\varepsilon} \right) \cdot \left(\frac{q_1 q_2}{r^2} \right) \quad (1)$$

ただし ε は溶媒の誘電率、 r は極性置換基間の距離、 $q_1 q_2$ はその電荷である。

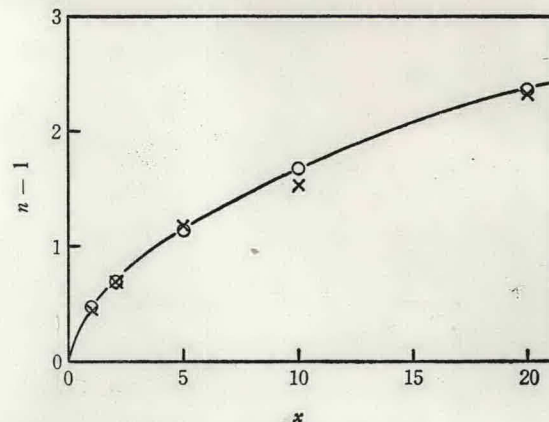
さてこの系の良溶媒であるアセトン中ではポリマーラジカル鎖は拡がっており、そのシアノ基は分散していく r の平均値が大きく、また ε が大きい (20.7, 25°C) ので Field 効果と考えられる F は相対的に小さいに違いない。一方、貧溶媒のアセトン-ベンゼン混合溶液中ではポリマー連鎖は縮まっており、両者のシアノ基間の平均距離 r はアセトンの場合よりも小さく、また溶媒の誘電率が小さい (ベンゼンについて 2.28, 20°C) ので F はアセトンの場合とくらべて大きく、これら 2 種類の溶媒を用いた共重合では組成が一致せず、アセトン-ベンゼン混合溶媒を用いた方がより大きく、penultimate 効果を示すと考えられる。実験結果を図 1 に示す (縦軸および横軸のパラメーターについては後で述べる)。両溶媒間で共重合組成に変化はなく、penultimate 効果の主因は Field 効果よりもむしろポリマーラジカル末端近くに存在するシアノ基とモノマーとの立体障害にあると考えられる。

Ham ら²⁾によると、St-FN の共重合は St-無水マレイン酸の場合のように容易に 1:1 の交互共重合をせず、FN は penultimate 効果のため最高 40% しか共重合体に入らないといわれている。

すなわち FN 組成が最大になるときの構造は



のようになり、penultimate 単位だけでなく、末端からもっと遠く離れたモノマー単位の影響を受けていると考えられ、penultimate モデル式の r' のかわりに $r_1''(r_1'x+1)/(r_1''x+1)$ を、 r_2'' のかわりに $r_2''(r_2'x+1)/(r_2''x+1)$ を用いて pen-penultimate 式



モノマーと溶媒のモル比 1/12
○: アセトン, ×: アセトン, ベンゼン等モル混合液
図 1 FN-St の共重合組成曲線(常圧)

を導いた。FN はほとんど単独重合性がないので $r_2=0$ とすると共重合式はつぎのようになる

$$n-1 = \frac{[r''x(r'x+1)/(r''x+1)](rx+1)}{[r''x(r'x+1)/(r''x+1)]+1} \quad (2)$$

ただし

$$x = \text{St}/\text{FN}, \text{モノマーのモル比}$$

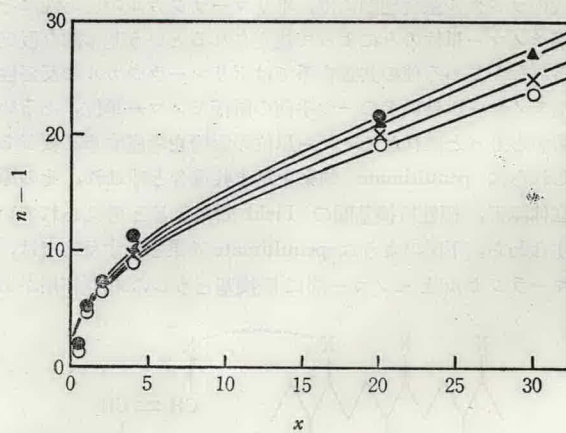
$$x = \text{St}/\text{FN}, \text{コポリマーのモノマー単位比}$$

$$r = k_{\text{StStSt}}/k_{\text{StStFN}}$$

$$r' = k_{\text{FNStStFNStSt}}/k_{\text{FNStFNStFN}}$$

$$r'' = k_{\text{FNStFNStSt}}/k_{\text{FNStFNStFN}}$$

(2)式にしたがって常圧、2000, 3000, 4000 kg/cm² の圧力における共重合組成曲線を求め図 2 に示した。コポリマーの組成は明らかに圧力の影響を受けている。最小二乗法によって r , r' , r'' を求め(表 1), その van't Hoff プロットを図 3 に示した。 r , r' , r'' はいずれも圧力の増加とともに減少することを示し、図の直線の傾きから生長反応の活性化体積の差がそれぞれつぎのよ



反応条件

全モノマー: 50.00, AIBN: 0.03, アセトン: 49.97 wt%

圧力 (kg/cm²) —

●: 1, ▲: 2000, ×: 3000, ○: 4000

$x < 5$ の領域では点が重複するため一部省略してある。

図 2 FN-St の共重合組成曲線に対する圧力の影響

2) G. E. Ham, J. Polym. Sci., 45, 169(1960).